

بررسی رفتار برشی تیرهای بتن مسلح حاوی الیاف فولادی موج دار

مهدی نعمت‌زاده^۱، مرتضی نقی‌پور^{*}^۲، رضا عباس‌نیا^۳ و مرتضی حسین‌علی‌بیگی^۴

^۱ دانشجوی دکتری دانشکده مهندسی عمران، دانشگاه صنعتی نوشیروانی بافق

^۲ دانشیار دانشکده مهندسی عمران، دانشگاه صنعتی نوشیروانی بافق

^۳ دانشیار دانشکده مهندسی عمران، دانشگاه علم و صنعت ایران

^۴ استادیار دانشکده مهندسی عمران، دانشگاه صنعتی نوشیروانی بافق

چکیده

یکی از خطرناک‌ترین نوع خرابی اعضاء سازه‌ای بتنی، گسیختگی آن‌ها در برش می‌باشد که موجب شکست ترد و ناگهانی عضو مورد نظر می‌شود به همین علت آئین‌نامه‌های متعدد، استفاده از آرماتورهای عرضی کافی در نواحی بحرانی را ضروری می‌دانند. استفاده از الیاف فولادی در بتن، موجب بهبود رفتار برشی و تبدیل رفتار ترد به رفتار شکل‌پذیر می‌شود. از این رو الیاف می‌توانند نقش مهمی را در رفع مشکل ذکر شده در بالا ایفا کنند. در این پژوهش تأثیر الیاف فولادی موج دار بر رفتار برشی تیرهای بتن مسلح با مقاومت معمولی مورد بررسی قرار گرفت. آزمایش‌ها در گروه انجام گرفت که در گروه اول بتن حاوی الیاف فولادی فاقد خاموت (BF)، در گروه دوم بتن فاقد الیاف فولادی دارای خاموت (BS) و در گروه سوم بتن حاوی الیاف فولادی دارای خاموت (BFS) بود. نتایج آزمایش‌ها نشان داد که با جایگزینی الیاف هم حجم به جای خاموت، می‌توان علاوه بر حفظ مقاومت به سختی و شکل‌پذیری بالاتری دست یافت. همچنین با افزودن الیاف فولادی، گسیختگی از مدد برشی دور شده و به مد خمشی نزدیک می‌شود که این امر افزایش بیشتر مقاومت برشی در مقایسه با مقاومت خمشی را می‌رساند. ترک‌ها در تیرهای حاوی الیاف فولادی دارای فواصل و طول کوتاه‌تری بودند. این ترک‌ها به صورت نایپوسته بوجود آمدند و بعد از تداوم بارگذاری به یکدیگر متصل شدند. همچنین ترک‌خوردگی و گسترش آن در این نوع تیرهای نسبت به تیرهای فاقد الیاف با صدای ملایم‌تری همراه بود که حاکی از بازتوزیع یکنواخت‌تر تنش‌ها می‌باشد. نهایتاً می‌توان گفت برای بازتوزیع بهتر تنش‌ها و جلوگیری از وقوع ناگهانی ترک‌ها، افزایش میزان الیاف فولادی مؤثرتر از افزایش همان درصد حجمی خاموت است.

وازگان گلیدی: تیرهای SFRC، الیاف فولادی، رفتار برشی، بازتوزیع تنش، تیر، بتن آرمه، بتن الیافی.

۱- مقدمه

نقش اصلی الیاف در بتن الیافی، مقاومت در مقابل ایجاد و رشد ترک‌ها، بهبود مقاومت کششی و افزایش کرنش نهایی این نوع بتن نسبت به بتن معمولی می‌باشد. الیاف فولادی چندین مزیت نسبت به میلگردهای برشی دارد:

(۱) تکه‌های الیاف، به صورت تصادفی و در فواصلی نزدیک‌تر نسبت به میلگردهای برشی قرار می‌گیرند.

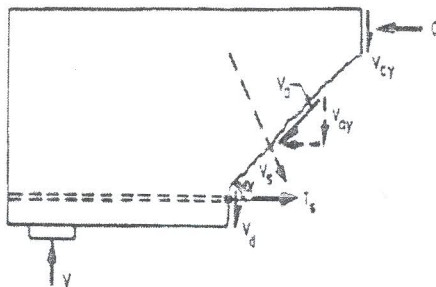
(۲) الیاف، مقاومت کششی قطری را از مرحله ترک‌خوردگی تا حالت نهایی افزایش می‌دهد.

(۳) الیاف، مقاومت برش-اصطکاک را افزایش می‌دهد. هرچند هزینه بالای الیاف فولادی و نبود روابط و ضوابط کافی برای طراحی سازه‌ای بتن الیافی باعث عدم استفاده متداول از آن شده است، ولی استفاده از الیاف فولادی و حذف برخی از میلگردهای طولی و عرضی و در نتیجه کاهش هزینه تولید بتن مسلح، از موضوعات مهم صنعت بتن می‌باشد.

مطالعات زیادی برای تعیین مکانیزم تقویت مناسب برشی اعماق بتن ارائه‌العجمان شد و مدل‌هایی تئوری نیز برای آن ارائه

شده است. این تحقیقات از مدل‌هایی مبتنی بر اثر متقابل خمشن

و برش در تیرهای بدون تقویت برشی آغاز شد [۱-۳]. تعداد زیادی از تحقیقات انجام شده در سال‌های اخیر، استفاده از الیاف در بتن مسلح و نقش آن‌ها در تقویت برشی تیرها را مورد بررسی قرار داده‌اند [۴-۱۵]. مزایای مهم الیاف در کمیته‌هایی همپون ۵۴۴ ACI [۱۶] و RILEM TC 162-TDF [۱۷] به صورت اساسی مطرح شده است. تحقیقات آزمایشگاهی نشان داده‌اند که استفاده از مقدار مناسب الیاف فولادی در بتن، مقاومت برشی را بهبود می‌بخشد که از دلایل اصلی آن می‌توان به افزایش مقاومت کششی، به تأخیر انداختن ایجاد و رشد ترک‌ها، فاصله نزدیک‌تر میان الیاف در مقایسه با خاموت‌ها و در نهایت به تأثیر الیاف در مکانیزم کنترل ترک و توزیع مناسب‌تر ترک‌های کششی اشاره گرد. در عمل Narayanan و Darwish مشاهده کردند که الگوی ترک‌ها در تیرهای بتنی حاوی الیاف، شبیه به تیرهای بتنی مرسوم دارای خاموت می‌باشد [۶]. هر چند آن‌ها دریافت‌هایی که بهبود در مقاومت برشی نهایی محسوس نبوده، اما مقاومت برشی متناظر با شروع ترک‌خوردگی به طور



شکل ۱- نیروها در ترک قطری تیر بتن مسلح حاوی الیاف فولادی

مقاومت برشی نهائی بتن مسلح به کمک روابط زیر قابل تخمین می‌باشد [۱۴]:

$$V_{uc} = \left(10\rho f'_c \frac{d}{a_s} \right)^{\frac{1}{3}} bd \quad \frac{a_s}{d} \geq 2.5 \quad (1)$$

$$V_{uc} = \left(160\rho f'_c \right)^{\frac{1}{3}} \left(\frac{d}{a_s} \right)^{\frac{4}{3}} bd \quad \frac{a_s}{d} \leq 2.5 \quad (2)$$

که در این روابط:

ρ = نسبت میگردهای طولی، f'_c = مقاومت فشاری بتن
 d = عرض تیر (m)
 a_s = عمق مؤثر تیر (m)
 b = عرض تیر (m)
 a_s = دهانه برشی (m)

به مقاومت حاصل از روابط ۱ و ۲ باید مقاومت برشی خاموتها، $V_{us} = Avf_y d/s$ را اضافه کرد که $s = A\gamma$ = سطح مقطع خاموتها، f_y = مقاومت تسلیم خاموتها (MPa) و S = فواصل خاموتها (m) می‌باشد. بنابراین مقاومت برشی نهائی به صورت $V_u = V_{uc} + V_{us}$ خواهد بود.

در محاسبه تأثیر الیاف در مقاومت برشی، ابتدا باید عمق تار خنثی تعیین گردد. برای این منظور از تساوی ممان خارجی (M_u) با ممان نهائی داخلی (M_u) استفاده می‌شود [۱۴]:

$$M_u = 0.85 f'_c ab \left(d - \frac{a}{2} \right) + A'_s f'_s (d - d') \quad (3)$$

که A = سطح مقطع فولاد فشاری؛ f'_s = تنش فولاد فشاری؛ d' = فاصله فولاد فشاری از دورترین تار فشاری و a = عمق بلوك مستطیلی ویتنی می‌باشد. از معادله (۳) می‌توان عمق بلوك مستطیلی تنش را تعیین نموده و با استفاده از آن می‌توان عمق تار خنثی را محاسبه کرد.

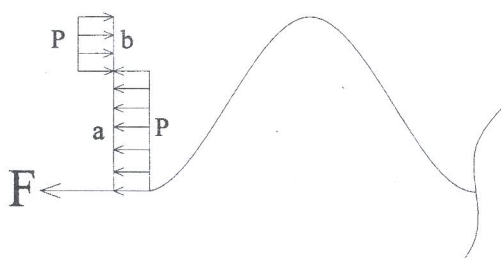
قابل توجهی افزایش می‌یابد. در مطالعه‌های دیگر آن‌ها نتیجه گرفتند که در اعضای سازه‌ای تحت نیروهای برشی زیاد، الیاف نمی‌تواند به طور کامل جایگزین خاموتها شود هرچند بکار بردن آن مدد گسیختگی را تغییر می‌دهد و از مدد برشی ترد به مدد خمی شکل‌پذیر تبدیل می‌شود [۷]. در بسیاری از مقاولات دیگر با انجام تعداد زیادی آزمایش، علاوه بر نتایج فوق، روابطی را برای پیش‌بینی مقاومت برشی تیرهای حاوی الیاف فولادی پیشنهاد کرده‌اند و بهبود رفتار تیرهای بتنی الیاف را به دلیل پدید آمدن عمل شاخه‌ای و رفتار قوسی تیرها دانسته‌اند [۴ و ۶]. همچنین این بهبود رفتار را می‌توان به تأثیر مقاومت بیرون‌کشیدگی الیاف بر عرض ترکهای بتن ارتباط داد. تعدادی از محققین با ارائه یک سری روابط تجربی و مدل‌های تحلیلی، سهم الیاف را در مقاومت برشی نهائی ارزیابی کردند [۵ و ۶] و [۱۵-۸]. آن‌ها نشان داده‌اند که سهم مشارکت الیاف تا حد زیادی وابسته به درصد حجمی الیاف، هندسه الیاف و کیفیت اتصال سطحی میان الیاف و بتن می‌باشد. همچنین در سال‌های اخیر Cucchiara و Mendola و Lim و Oh [۱۸] و [۱۹] نیز تحقیقات زیادی در زمینه رفتار برشی تیرهای حاوی الیاف فولادی انجام دادند. کلیه این تحقیقات توسط الیاف بدون موج انجام گرفته است هرچند وجود این موج‌ها باعث کاهش کارائی بتن می‌شود، ولی نیروی بیرون‌کشیدگی الیاف را به اندازه قابل توجهی افزایش می‌دهد. از این‌رو کمبود آزمایشات و روابط تحلیلی برای بتن با الیاف فولادی موج‌دار، استفاده از این نوع الیاف را در کار حاضر ضروری ساخته است.

در این پژوهش از الیاف فولادی موجود سینوسی با مقاومت پایین (2200 kg/cm^2) استفاده شده است. با ایجاد موج‌های سینوسی بر روی الیاف فولادی در گیری آن با بتن افزایش داده شده است. هدف از انجام این تحقیق بررسی تأثیر الیاف فولادی موج‌دار در تیرهای بتن مسلح (SFRC) با خاموت و بدون خاموت، در مقاومت نهائی، نحوه ترک خوردگی، شکل‌پذیری تیرها و در نهایت نقش این الیاف‌ها در جایگزینی خاموتها می‌باشد. از این‌رو، با افزودن الیاف فولادی موج‌دار در تیرهای بتن مسلح با خاموت و بدون خاموت، تأثیر الیاف فولادی در رفتار برشی این تیرها مورد بررسی قرار گرفت.

۲- بررسی روابط تحلیلی

متراحت پژوهش تیرهای بتنی مسلح حاوی الیاف فولادی را با استفاده از دیاگرام آزاد شکل (۱)، می‌توان از مجموع مقاومت برشی بتن، خاموتها و الیاف بدست آورد.

Archive of SID



شکل ۳- تنش‌های فشاری و کششی واردہ بر الیاف از طرف بتون

$$M=0 \Rightarrow a=0.7h, b=0.3h \quad (6)$$

$$F_{02} = P \left(0.4hd_f \right) \left(\frac{l_f}{2l_m} \right) \quad (7)$$

که در رابطه فوق $0.4hd_f$ سطح فشاری کل می‌باشد و از آنجائی که طول بیرون زدگی الیاف $l_f/4$ است و در دو طرف هر موج، وضعیت تنش ذکر شده برقرار است از این‌رو $l_f/2l_m$ ، دو برابر تعداد کل امواج یک الیاف خواهد بود.

با توجه به وجود تمرکز تنش حاصل از فشار در محل تماس الیاف با بتون، فشار P برابر با نصف مقاومت فشاری بتون f_c' فرض می‌شود.

$$F_{02} = 0.1f_c'hl_f \frac{d_f}{l_m} \quad (8)$$

بنابر این نیروی بیرون کشیدگی برای یک تکه الیاف به صورت زیر خواهد بود:

$$F_0 = 0.1f_c'hl_f \frac{d_f}{l_m} + \pi d_f \frac{l_f}{4} \quad (9)$$

نیروی کل بیرون کشیدگی در واحد سطح ترک به صورت زیر خواهد بود که n تعداد الیاف در واحد سطح ترک است:

$$F_l = nF_0 = 0.1nf_c'hl_f \frac{d_f}{l_m} + n\pi d_f \frac{l_f}{4} \quad (10)$$

با جایگذاری معادله (۴) در معادله (۱۰)، رابطه زیر به دست می‌آید:

$$F_l = 0.2V_f f_c' h \frac{l_f}{\pi l_m d_f} + 0.5\tau V_f \frac{l_f}{d_f} \quad (11)$$

طول ترک برشی مورب مساوی $(h-c)/\sin\alpha$ می‌باشد. تعداد الیاف (n) واقع در واحد سطح ترک را می‌توان به صورت زیر بدست آورد:

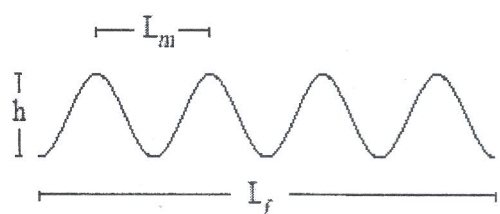
$$n = 0.5 \frac{V_f}{\pi r_f^2} \quad (4)$$

V_f = درصد حجمی الیاف، r_f = شعاع الیاف از آنجائی که طول بیرون زدگی الیاف $l_f/4$ است، در محاسبه نیروی میانگین بیرون کشیدگی الیاف، سهم تنش برشی سطح مشترک الیاف و بتون F_{01} به صورت زیر به دست می‌آید:

$$F_{01} = \pi d_f \frac{l_f}{4} \quad (5)$$

که τ مقاومت میانگین چسبندگی بین سطوح الیاف و بتون می‌باشد که نصف مقاومت برشی نهایی چسبندگی یعنی $2/\tau_t$ در نظر گرفته می‌شود [۱۵].

در کار حاضر برای ایجاد نیروی بیرون کشیدگی بالاتر، از الیاف موج دار سینوسی استفاده شده است که حالت موجی الیاف باعث قفل و بست بیشتر میان بتون و الیاف می‌شود. از این‌رو جهت محاسبه اثر موج‌های الیاف، یک تکه الیاف موج دار سینوسی به صورت شکل (۲) را در نظر می‌گیریم که دارای طول موج l_m ، دامنه موج h و طول الیاف l_f می‌باشد. توزیع تنش در الیاف موج دار هنگام کشش الیاف، در شکل (۳) آورده شده است که جهت عدم ایجاد لنگر، قسمت پائینی در فشار و قسمت فوقانی در کشش می‌باشد. با فرض شدت یکنواخت تنش‌ها، برآیند این نیروها به نیروی بیرون کشیدگی اضافه می‌شود که روابط آن در ادامه آورده شده است.



Archive of SID

جدول ۱- میزان مصالح موجود در یک متر مکعب بتن

مصالح	آب	سیمان	شن	ماسه	الیاف
(kg)					
200	444.4	1002.3	708.4	78.5	

نیروی کل (F_i) عمود بر ترک برابر است با:

$$F_i = F_i b(h-c)/\sin\alpha \quad (12)$$

که مؤلفه قائم آین نیرو ناشی از الیاف فولادی از رابطه زیر به دست می‌آید:

$$V_{f_y} = F_i \sin\alpha = F_i b(h-c) \quad (13)$$

در پایان مقاومت برشی کل تیر $SFRC$ از مجموع معادلات (۱) و (۱۳) یا معادلات (۲) و (۱۳) محاسبه می‌شود.

$$V_u = V_{uc} + V_{us} + V_{fy} \quad (14)$$

از معادله فوق مقدار تنش متوسط بدست می‌آید:

$$\gamma_u = \frac{V_u}{bd} \quad (15)$$

۳- انجام آزمایشات

۱-۱- مصالح مصرفي

در این پژوهش برای ساخت نمونه‌ها از مصالح با مشخصات زیر استفاده گردیده است:

(۱) آب

(۲) سیمان پرتلند معمولی تیپ II

(۳) ماسه از نوع رودخانه‌ی با ضریب نرمی ۳,۳۷

(۴) شن از نوع شکسته کوهستانی

(۵) الیاف فولادی از نوع موج دار سینوسی به قطر ۰/۷ میلی‌متر با طول موج ۴ میلی‌متر، ارتفاع موج ۱ میلی‌متر و با نسبت طول به قطر ۸۰

در طرح اختلاط بتن معمولی از سیمان و سنگدانه‌ها با مشخصات دانه‌بندی یکسان استفاده شده است که مقدار مصالح موجود در یک متر مکعب بتن در جدول (۱) بر حسب kg آورده شده است. مقاومت فشاری مکعبی نمونه‌ها حدود $480 kg/cm^2$ به دست آمد.

۲-۳- طراحی سازه‌ای تیر

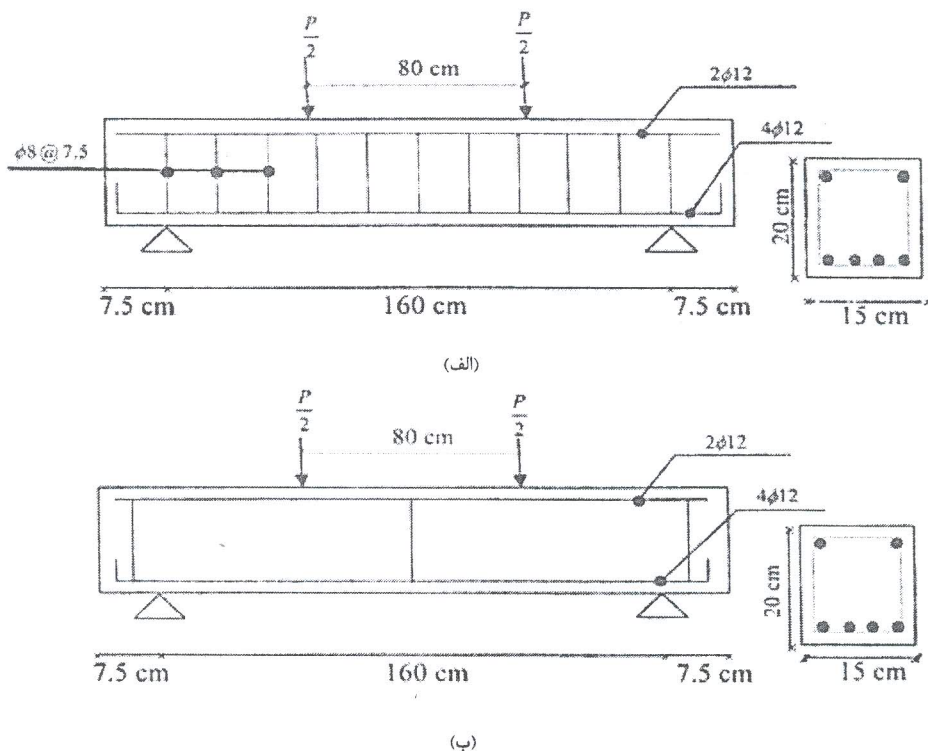
در این تحقیق ۶ تیر در سه گروه BF، BS و BFS مورد آزمایش قرار گرفت. ابعاد کلیه نمونه‌ها با توجه به محدودیت‌های آزمایشگاهی به صورت زیر انتخاب شد:

(طول تیر)	$L=175 \text{ cm}$
(طول دهانه)	$L=160 \text{ cm}$
(پهنای مقطع)	$b=15 \text{ cm}$
(ارتفاع مقطع)	$h=20 \text{ cm}$
(عمق مؤثر)	$d=16.5 \text{ cm}$

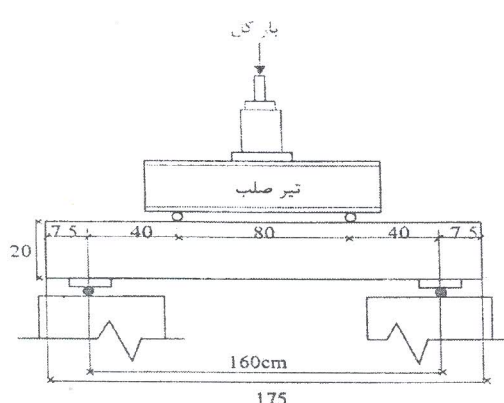
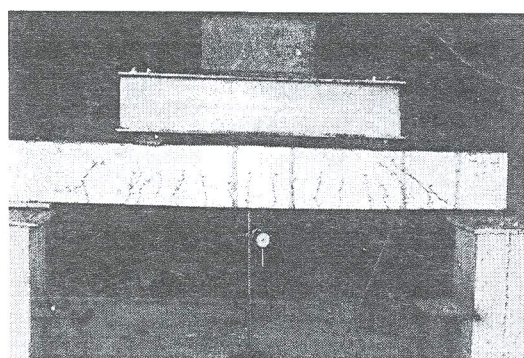
(فاصله بالاترین تار فشاری تا مرکز سطح میگردهای فشاری)

و همچنین $a/d=2.4$ (نسبت طول دهانه برشی به عمق مؤثر) انتخاب شد. درصد حجمی الیاف مورد استفاده در تیرهای بتونی حاوی الیاف فولادی (۷٪) برابر ۱٪ بوده است. باید توجه داشت که درصد الیاف کمتر از حدود ۰/۵ درصد تأثیر بسیار ناچیزی بر روی خواص سازه‌ای بتن دارد و درصد الیاف بالاتر از ۲ درصد نیز باعث کاهش کارایی بتن و در نتیجه بالا رفتن پوکی و تخلخل بتن خواهد شد [۱۸].

به منظور بررسی ترک‌های برشی و جلوگیری از گسیختگی خمشی، تیرها به گونه‌ای طراحی شدند که ظرفیت خمشی آن‌ها بیشتر از ظرفیت برشی آن‌ها است. از این‌رو ۴ میلگرد ۱۲ در پائین و ۲ میلگرد ۱۲ در بالا قرار داده شده است. همچنین برای خاموت‌ها از میلگرد φ8 به فواصل ۷.۵ cm استفاده شده به طوری که درصد حجم خاموت‌ها برابر یک درصد بود. کلیه میگردهای طولی و خاموت‌ها، آج‌دار و از نوع AII انتخاب شدند. مقاومت نظری حد تسلیم آن‌ها مطابق داده‌های کارخانه سازنده حدوداً برابر ۳۲۰۰ کیلوگرم بر سانتی‌متر مربع می‌باشد. مشخصات هندسی تیرها و بارهای وارده و نحوه آرماتورگذاری تیرها در شکل‌های (۴-الف) و (۴-ب) نشان داده شده است.

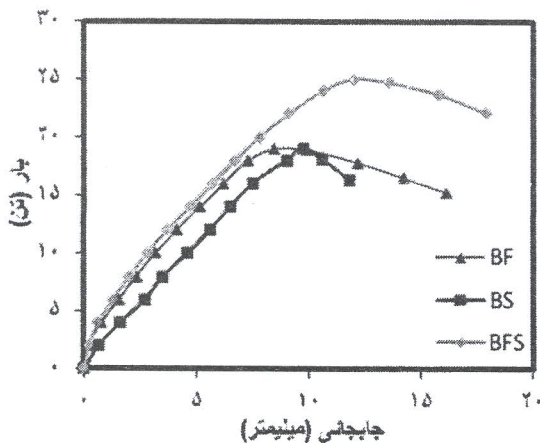


شکل ۴-الف) آزماتورگذاری تیرهای دارای خاموت (ب) آزماتورگذاری تیرهای بدون خاموت



شکل ۵- نحوه اعمال نیرو و محل نصب LVDT تیرهای آزمایش

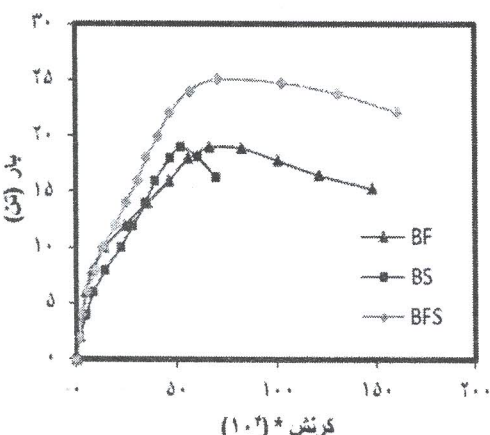
شکل ۵) نحوه اعمال نیرو بر روی تیرهای مورد آزمایش را نشان می‌دهد که باز کل توسط یک تیر فولادی صلب به دو نقطه تیر بتنی می‌رسد. لود سل^۱ کالیبره شده بین جک و تیر فولادی قرار داده شد و بار اعمالی در چندین گام با نمود ۲ تن در هر گام، تا لحظه گسیختگی بر نمونه‌ها وارد شده است. در هر مرحله مقدار بار توسط لود سل و مقدار خیز مرکزی توسط یک LVDT نصب شده در وسط دهانه تیر ثبت شدند. کلیه داده‌های آزمایشگاهی در یک data logger با نمود زمانی مناسب ذخیره شدند. همچنین در هر گام بارگذاری، مقادیر کرنش‌های طولی در قسمت‌های تحتانی و فوقانی دهانه‌های خمشی و برشی توسط یک کرنش‌سنجه مکانیکی^۲ با طول گیج ۲۰ سانتی‌متر قرائت و ثبت شد. ترک‌های ایجاد شده در هر مرحله از بارگذاری بر روی بدنۀ تیرها ترسیم و میزان نیروی متناظر با آن بر روی ترک‌ها ثبت شد.



شکل ۶- منحنی نیرو- تغییر مکان مرکز تیرها

۴-۲- بررسی رفتار بار- گرنش در دهانه برشی و در ناحیه کششی

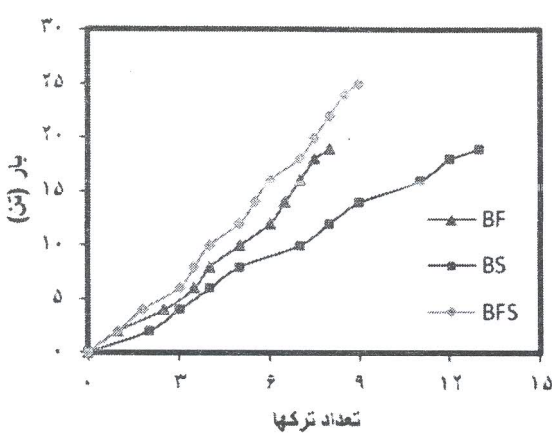
برای بررسی رفتار بار- گرنش در دهانه برشی و در ناحیه کششی، مقدار گرنش طولی در هر لحظه از بارگذاری توسط یک گرنش سنج مکانیکی با طول گیج ۲۰ سانتی متر ثبت شده و نتایج به صورت منحنی بار- گرنش در شکل (۷) ترسیم شده است. ملاحظه می شود که تا قبل از ایجاد ترکهای اولیه در دهانه برشی، تیر BFS و تیر BF دارای شیب های برابر می باشند، اما با شروع ترک خودگی، ترکهای ایجاد شده در تیرهای BF توسط الیاف کنترل می شوند و دیگر اثر خاموت به عنوان یک کنترل کننده عرض ترکها وجود ندارد. از این رو این ترکهای همان طور که در شکل (۸) ملاحظه می شود، دارای عرض زیاد خواهند بود که موجب می شود تغییر شکل و گرنش در دهانه برشی زیاد باشد.



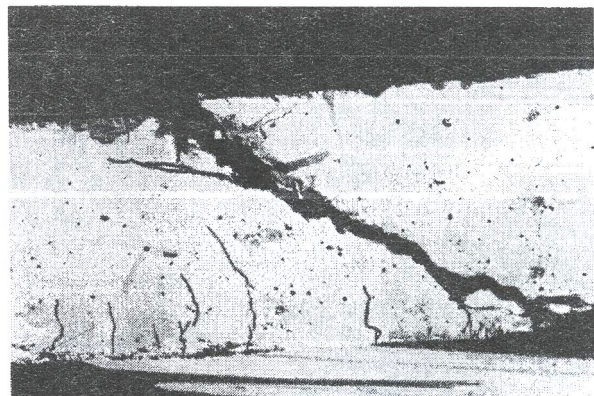
شکل ۷- منحنی بار- گرنش در ناحیه کششی دهانه برشی

۴- بحث و بررسی نتایج آزمایش

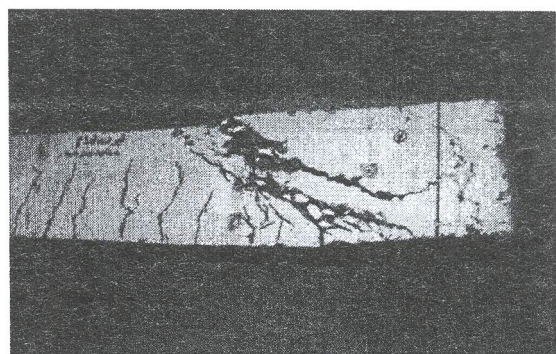
۴-۱- بررسی رفتار نیرو- تغییر شکل مرکز تیر برای بررسی رفتار نیرو- تغییر شکل مرکز تیر، منحنی بار- تغییر شکل مرکز تیرهای حاوی الیاف بدون خاموت (BF) و تیرهای بدون الیاف با خاموت (BS) و تیرهای حاوی الیاف با خاموت (BFS) در شکل (۶) ترسیم شده است. با توجه به این که الیاف فولادی میزان مدلول الاستیسیته را در ناحیه کششی و تا حدودی در ناحیه فشاری افزایش می دهد از این رو انتظار می رود که سختی خمشی (شیب منحنی P-E) در تیرهای حاوی الیاف فولادی دارای مقدار بیشتری باشد. مطابق شکل (۶) مشاهده می شود تیرهای حاوی الیاف BF و BFS تا قبل از نیروی حد اکثر، دارای سختی بیشتر نسبت به تیرهای فاقد الیاف می باشند. از طرفی شیب منحنی تیرهای BF و BFS تفاوت چندانی با یکدیگر ندارند که نشان می دهد فواصل کم خاموتها در تیرهای حاوی الیاف، تأثیر ناجیزی بر سختی آنها خواهد داشت. مطابق شکل (۶) ملاحظه می شود که با افزودن الیاف فولادی به تیرهای بتن مسلح علاوه بر افزایش سختی خمشی، شکل پذیری آنها نیز افزایش می یابد و این تیرها بعد از رسیدن به بار حد اکثر با شیب اندکی مسیر طولانی را تا بار گسیختگی طی می کنند که این امر بیانگر قابلیت جذب انرژی بالاتر عضو مورد نظر است. از طرفی درصد حجمی خاموت های برشی بکار رفته در تیرهای بتن مسلح بدون الیاف یک درصد حجمی می باشد که برای درصد حجمی الیاف بکار رفته در تیرهای حاوی الیاف می باشد که نتیجه می شود با جایگزینی درصدی از الیاف فولادی بجای همان درصد از خاموت، می توان به شکل پذیری بالاتر دست یافت. با مقایسه منحنی تیرهای BF و تیرهای BS ملاحظه می شود که با جایگزینی یک درصد حجمی الیاف فولادی بجای یک درصد حجمی خاموت برشی، بار حد اکثر ثابت می ماند و این الیاف می تواند همان میزان نیروی مقام برشی را ایجاد کند که خاموت ها ایجاد می کنند. همچنین در مقایسه تیرهای BFS و تیرهای BS ملاحظه می شود که با افزودن یک درصد الیاف، بار نهائی به میزان ۲۱ درصد افزایش می یابد.



شکل ۹- منحنی نیرو- تعداد ترک‌ها در ناحیه کششی دهانه برشی



(الف)



(ب)

شکل ۸- (الف) گسیختگی تیر BF در دهانه برشی (نمونه اول)

ب) گسیختگی تیر BF در دهانه برشی (نمونه دوم)

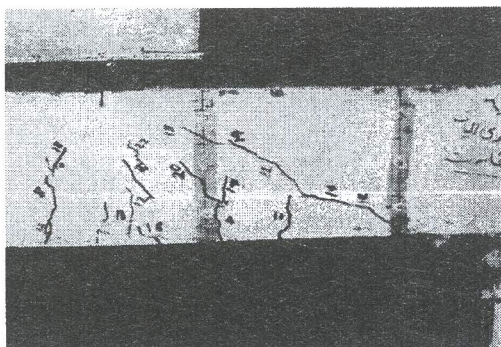
۳-۴- بررسی رفتار بار- کرنش در دهانه خمشی و در ناحیه کششی

در ادامه برای بررسی رفتار بار- کرنش در دهانه خمشی و در ناحیه کششی، مقدار کرنش طولی در هر لحظه از بارگذاری توسط یک کرنش سنج مکانیکی با طول گیج ۲۰ سانتی‌متر ثبت شده و نتایج به صورت منحنی بار- کرنش در شکل (۱۰) ترسیم شده است. همچنین منحنی بار در مقابل تعداد ترک‌ها در شکل (۱۱) ترسیم شده است.

مطابق شکل‌های (۱۰) و (۱۱) ملاحظه می‌شود که تیرهای حاوی الیاف فولادی دارای تعداد ترک‌های زیاد و در عین حال دارای شبیب کمتری در منحنی نیرو- کرنش در مقایسه با تیرهای فاقد الیاف می‌باشند چرا که وجود الیاف باعث می‌شود که قسمتی از تنش‌ها در دهانه خمشی توسط الیاف انتقال یابد که این خود موجب افزایش تعداد ترک‌ها با عرض محدود و از طرف دیگر باعث توزیع یکنواخت‌تر تنش‌ها در این ناحیه خواهد شد. در نتیجه، ترک‌ها در نقاط مختلف دهانه CD به شکل تقریباً یکسانی پراکنده می‌شوند. در ادامه شبیب اندک منحنی تیرهای حاوی الیاف پس از بار حداکثر نشان دهنده شکل‌پذیری بالای این دسته از تیرها می‌باشد که باعث از بین رفتن گسیختگی ترد می‌گردد. شکل‌های (۱۲) و (۱۳) نحوه ترک خوردنی نمونه‌هایی از تیرها را نمایش می‌دهند.

شبیب منحنی بعد از شروع ترک‌خوردگی به میزان زیادی کاهش یابد؛ ولی در تیرهای BFS، خاموت‌ها، قسمت ترک خورده بتون را به صورت یک توده نگه می‌دارند و تغییر طول دهانه برشی اندک و شبیب منحنی نیز تندتر و یکنواخت‌تر خواهد بود. همچنین کرنش نهائی در تیرهای حاوی الیاف حدود دو برابر تیرهای فاقد الیاف می‌باشد که نقش مهم الیاف در افزایش شکل‌پذیری تیرها را می‌رساند.

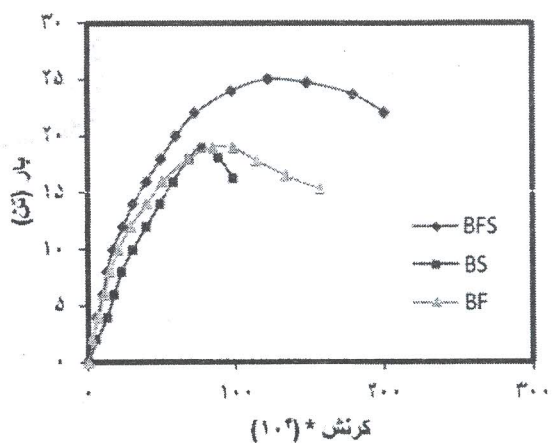
شکل (۹) منحنی تعداد ترک‌های مشاهده شده نسبت به نیرو در دهانه برشی را نشان می‌دهد. ملاحظه می‌شود که تعداد ترک‌ها در ناحیه برشی، با افزودن الیاف فولادی به تیرهای بتون مسلح، به میزان قابل توجهی کاهش می‌یابد و با توجه به شکل (۱۱) ملاحظه می‌شود که این ترک‌ها در ناحیه خمشی افزایش می‌یابند. به عبارتی می‌توان نتیجه گرفت که افزودن الیاف فولادی در تیرهای بتون مسلح، مقاومت برشی را بیشتر از مقاومت خمشی افزایش می‌دهد.



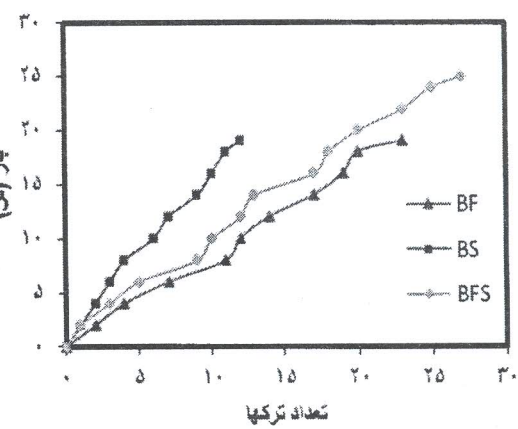
شکل ۱۳- نحوه ترک خوردگی تیر BFS در دهانه برشی

۵- مقایسه برش نهایی تئوری و آزمایشگاهی

با توجه به تئوری ارائه شده و نتایج آزمایشگاهی به دست آمده می‌توان صحت روابط ارائه شده را بررسی کرد. از آنجایی که تیرها از لحاظ خمش نسبت به برش، قوی‌تر طراحی شده‌اند، گسیختگی آن‌ها در دهانه برشی خواهد بود. بنابراین میزان برش مقاوم نهایی مطابق روابط (۱) تا (۱۳) در جدول (۲) آورده شده است. لازم به ذکر است که عدد $16/0$ در محاسبات نیروی برشی تیرهای BF اثر سه خاموتی هستند که دو عدد از آن‌ها در محل تکیه‌گاهها و یکی از آن‌ها در وسط تیر برای نگهداری میلگرد‌های طولی تعییه شده‌اند.



شکل ۱۰- منحنی بار- کرنش در ناحیه کششی دهانه خمشی

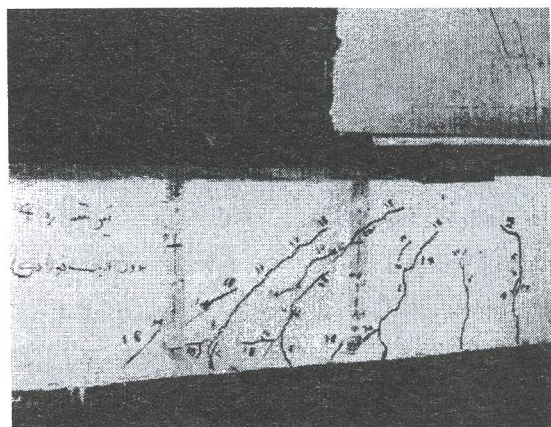


شکل ۱۱- منحنی نیرو- تعداد ترک‌ها در ناحیه کششی دهانه خمشی

جدول ۲- برش مقاوم نهایی تئوری

نوع تیر	V_{uc} برش بتون	V_{us} برش خاموت	V_{fy} برش الیاف	V_u برش تئوری کل
BFS	4.0	5.2	4.4	13.6
BF	4.0	0.6	4.4	9.0
BS	4.0	5.2	-	9.2

نتایج برش مقاوم تئوری و آزمایشگاهی برای کلیه تیرها در جدول (۳) آورده شده است. ملاحظه می‌شود که تیرهای فاقد الیاف، کمترین خطای را در مقایسه روش تئوری با نتایج آزمایشگاهی دارند و خطای در تیرهای حاوی الیاف به دلیل رفتارهای ناشناخته و نبود روابط دقیق‌تر می‌باشد.



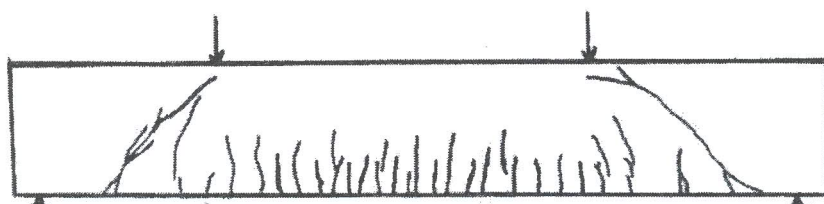
شکل ۱۲- نحوه ترک خوردگی تیر BS در دهانه برشی

۶- بررسی الگوی ترک ها

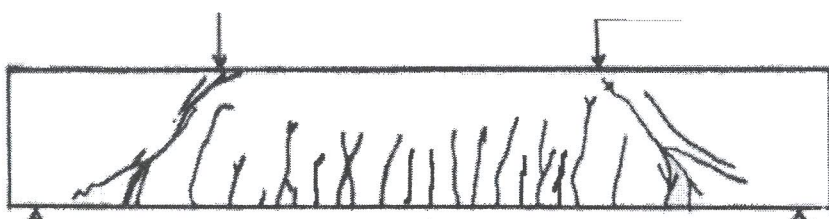
شکل های (۱۴) تا (۱۹) الگوی ترک تیرها را نمایش می دهند. کلیه تیرها با توجه به بالا بودن ظرفیت خمشی تحت برش گسیخته شده اند. شکل ترک ها نسبت به محور وسط تیر تا حدود زیادی متقارن می باشد. توزیع تصادفی الیاف فولادی از جمله عواملی می باشد که تقارن کامل الگوی ترک ها را در تیرهای حاوی الیاف، از بین می برد.

جدول ۳- مقایسه نتایج تئوری و آزمایشگاهی

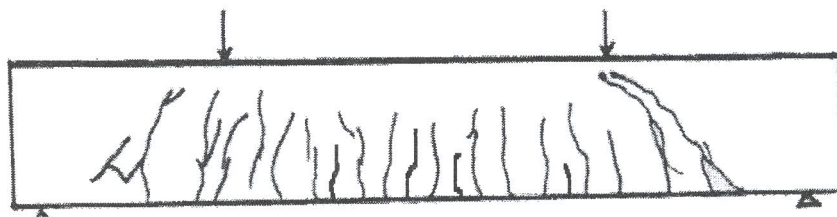
نوع تیر	نتایج تئوری	نتایج آزمایشگاهی	اختلاف % نتایج
BFS	13.6	12.5	8.8
BF	9.0	9.5	5.3
BS	9.2	9.5	3.2



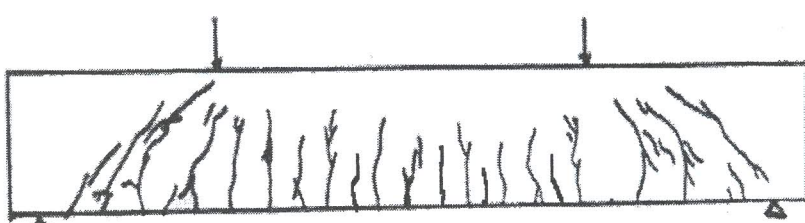
شکل ۱۴- الگوی ترک تیرهای BF (نمونه اول)



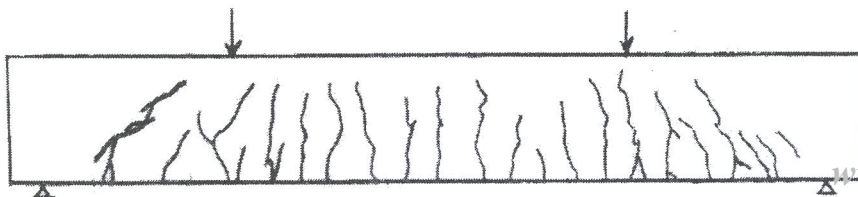
شکل ۱۵- الگوی ترک تیرهای BF (نمونه دوم)



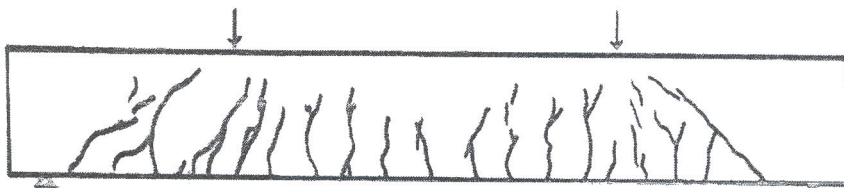
شکل ۱۶- الگوی ترک تیرهای BFS (نمونه اول)



شکل ۱۷- الگوی ترک تیرهای BFS (نمونه دوم)



شکل ۱۸- الگوی ترک تیرهای BS (نمونه اول)



شکل ۱۹- الگوی ترک تیرهای BS (نمونه دوم)

ترک گستته برشی که به تدریج به یکدیگر متصل می‌شوند، همراه می‌باشد.

۴- گسیختگی نهایی در تیرهای حاوی الیاف ناشی از عدم توزیع و انتقال بیشتر تنش در محل ترک‌ها به دلیل جاری شدن الیاف می‌باشد.

۵- در صورت استفاده از الیاف مقاومت پایین (2200 kg/cm^2) اگر چه می‌توان به فواید مطلوب دست یافت اما در مقایسه با الیاف فولادی مقاومت بالا به مقدار بیشتری از این نوع الیاف جهت افزایش مقاومت برشی نیاز می‌باشد. اگر بتوان مشکل اسلامپ کاهش اسلامپ و کارایی بتن می‌گردد. اگر بتوان مشکل اسلامپ و کارایی پائین بتن را بر طرف نمود (که این امر در حال حاضر فقط برای درصدهای حجم کم الیاف امکان‌پذیر است) استفاده از الیاف مقاومت پایین می‌تواند یک راه حل مناسب برای رسیدن به مقاومت مورد نظر باشد.

۷- مراجع

- [1] Kani, G. N. J., "Basic Facts Concerning Shear Failure", ACI J Proc, 1966, 63 (6), 675-92.
- [2] Ba-zant, Z. P., Kim, J. K., "Size Effect in Shear Failure of Longitudinally Reinforced Beams", ACI J, 1984, 81 (5), 456-68.
- [3] Russo, G., Zingone, G., Puleri, G., "Flexure-Shear Interaction Model for Longitudinally Reinforced Beams", ACI Struct J, 1991, 88 (1), 60-8.
- [4] Swamy, R. N., Bahia H. M., "Influence of Fiber Reinforcement on the Dowel Resistance to Shear", ACI J, 1979, 76 (2), 327-55.
- [5] Sharma, A. K., "Shear Strength of Steel Fiber Reinforced Concrete Beams", ACI J Proc, 1986, 83 (4), 624-8.
- [6] Narayanan, R., Darwish, I. Y. S., "Use of Steel Fiber as Shear Reinforcement", ACI Struct J, 1987, 84 (3), 216-27.
- [7] Narayanan, R., Darwish, I. Y. S., "Shear in Mortar Beams Containing Fibres and Fly

در تیرهای BS، گسیختگی با چند ترک اصلی و ممتد برشی همراه بود اما در تیرهای حاوی الیاف (BFS و BF) گسیختگی با چندین ترک گستته برشی که به تدریج به یکدیگر متصل شوند، همراه بود. این امر نشان دهنده عملکرد مناسب الیاف فولادی در رفتار برشی تیرهای حاوی الیاف فولادی و نقش مؤثر الیاف در بازنمایی مناسب تنش‌ها می‌باشد. همچنین ترک‌ها در تیرهای بتونی فاقد الیاف فولادی، نسبت به تیرهای حاوی الیاف، حدوداً بلندتر و عریض‌تر بوده و بعضی از ترک‌های ناگهانی همراه بود. اما در تیرهای حاوی الیاف فولادی، ترک‌ها تدریجی و با صدای ملایم‌تری همراه بود که نشان می‌دهد افزودن الیاف موجب بازنمایی بهتر تنش‌های کششی و بنابراین کاهش و گستته شدن ترک‌های کششی می‌گردد و ترک‌ها با عرض و فاصله کمتر در بازه بزرگ‌تر نسبت به تیرهای فاقد الیاف رخ می‌دهند.

همچنین با مشاهده دهانه برشی تیرهای BS (به فواصل خاموت ۷.۵ cm) و تیرهای BF (دو خاموت در کناره‌ها و یک خاموت در وسط دهانه) ملاحظه می‌گردد که اگر میزان فاصله خاموت‌ها زیاد شود ولی در مقابل درصد الیاف افزایش یابد (با حفظ درصد حجمی مجموع آن‌ها) از میزان ترک‌های برشی کاسته می‌شود.

۷- نتایج

۱- با جایگزینی الیاف فولادی به جای قسمتی از خاموت‌ها علاوه بر ثابت ماندن مقاومت حداقل می‌توان به شکل پذیری بالاتری نیز دست یافت. برای بهبود شکل پذیری و جلوگیری از ترک‌های ناگهانی، افزودن الیاف فولادی (حتی با مقاومت پایین) مؤثرتر از افزایش خاموت‌ها می‌باشد.

۲- در تیرهای فاقد الیاف فولادی، عرض و ارتفاع ترک‌ها بیشتر از تیرهای حاوی الیاف فولادی است.

۳- در تیرهای بدون الیاف، گسیختگی با ترک‌های اصلی و ممتد برشی همراه بود اما در تیرهای حاوی الیاف گسیختگی با چند

Archive of SID

- [14] Oh, B., Lim, D., Hong, K., Yoo, S., Chae, S., "Structural Behavior of Steel Fiber Reinforced Concrete Beams in Shear", *ACI Struct J*, 1992, 182 (2), 9-27.
- [15] Swamy, R. N., Al-Ta'an, S. A., "Deformation and Ultimate Strength in Flexure of Reinforced Concrete Beams with Steel Fiber Concrete", *ACI Struct J*, 1981, PP 356-405.
- [16] ACI Committee 544, "Design Considerations for Steel Fiber Reinforced Concrete", *ACI Struct J*, 1988, 85 (5), 563-80.
- [17] Rilem TC-162-TDF, "Test and Design Methods for Steel Fibre Reinforced Concrete", *Mater Struct*, 2000, 33 (226), 75-81.
- [18] Lim, D. H., Oh, B. H., Experimental and Theoretical Investigation on the Shear of Steel Fibre Reinforced Concrete Beams", *Engineering Structures*, 1999, 21, 937-944
- [19] Mendola, L., Cucchiara, C., Papia, M., "Effectiveness of Stirrups and Steel Fibres as Shear Reinforcement", *Cement & Concrete Composites*, 2004, 26, 777-786.
- Ash", *J Struct Eng ASCE*, 1988, 114 (1), 84-102.
- [8] Al-Ta'an, S. A., Al-Feel, J. R., "Evaluation of Shear Strength of Fibrereinforced Concrete Beams", *Cem Concr Compos*, 1990, 12 (2), 87-94.
- [9] Ashour, S. A., Hasanain, G. S., Wafa, F. F., "Shear Behavior of Highstrength Fiber Reinforced Concrete Beams", *ACI Struct J*, 1992, 89 (2), 176-84.
- [10] Swamy, R. N., Jones, R., Chiam, A. T. P., "Influence of Steel Fibres on the Shear Resistance of Lightweight Concrete T-Beams", *ACI Struct J*, 1993, 90 (1), 103-14.
- [11] Oh, B. H., Lim, D. H., Yoo, S. W., Kim, E. S., "Shear Behaviour and Shear Analysis of Reinforced Concrete Beams Containing Steel Fibres", *Mag Concr Res*, 1998, 50 (4), 283-91.
- [12] Khuntia, M., Stojadinovic, B., Goel, S. C., "Shear Strength of Normal and High-Strength Fiber Reinforced Concrete Beams without Stirrups", *ACI Struct J*, 1999, 96 (2), 282-9.
- [13] Noghabai, K., "Beams of Fibrous Concrete in Shear and Bending: Experiment and Model", *J Struct Eng ASCE*, 2000, 126 (2), 243-51.